

離岸堤の堆砂機構に関する実験的研究 (I)-堆砂機構について

大阪府立工業高等専門学校 正員 平山 秀夫  
 大阪府立工業高等専門学校 正員 福島 博行  
 進和テック 正員 小杉 雅芳  
 運輸省 正員 浦上 武

1. はしがき: 海岸侵食防止工法の1つである離岸堤の工法は、近年特に脚光を浴びてきた。その実施例は急増の一途を辿っている。しかしながら、この工法はあくまで経験工学的な工法であり、その堆砂機構については十分に解明されていないのが現状である。

本研究は、離岸堤モデルによる堆砂機構を実験的に究明しようとするもので、ここでは特に、1)まず、着色砂による底質移動の可視化を行ない、堤内外の土砂の移動分布状況を把握することによって、堤による堆砂過程を明らかにする。同時に、中立粒子を用いて堤周辺の流況をも把握する。2)次に、堤の沈下量あるいは不等沈下に伴う堤の傾斜角と、堤内堆砂量や汀線の変動量との関連性を明らかにする。

2. 実験装置・実験方法・解析方法: 実験装置は前報<sup>1)</sup>と全く同様である。また、実験方法は、まず水平床上的水深を40cmと一定とし、初期平衡勾配が1/20の標準砂( $d_{50}=0.2mm$ )による移動床にbar型の波(入射波高 $H_i=8.5cm$ , 周期 $T=1.0sec$ )を作用させて、典型的な侵食型の平衡海浜(以下、初期平衡勾配と呼ぶ)を形成させ、そこにテトラポッドの整積2段による離岸堤モデル(堤幅 $B=40cm$ , 半堤長 $D=40cm$ )を $X/X_b \approx 0.5$ ( $X$ : 静水汀線から沖向き距離,  $X_b$ : 同じく碎波点までの距離)の位置に設置した。これに、さらに堤周辺の付加的条件(沈下防止工, 沈下促進工, 開口部洗掘防止工, 開口部付近浚渫法など)を変化させ、再び初期平衡勾配と同条件の波を5時間作用させた。一部の実験については、これに引き続きstep型の波( $H_i=4.5cm$ ,  $T=1.5sec$ )を5時間、さらにbar型の波( $H_i=10cm$ ,  $T=1.0sec$ )を5時間作用させた。測定は、それぞれ $t=1/2, 1, 2, 3, 5$ 時間ごとに、汀線の変動量、堤沈下量および水理特性を調べた。また、 $t=5$ 時間においては、堤内外の洗掘堆積量を、堤設置時点を基準にした砂面測定器による等高線表示図から、土量計算することによって求めた。解析方法は、初期平衡勾配時からの等洗掘・堆積高線図(図-1)から、堤内の総洗掘量( $V$ )、総堆積量( $W$ )、純堆砂量( $Q=W-V$ )などを求め、さらに静水汀線からの汀線の平均移動量( $X_s$ )、堤の4隅角地点での沈下量から平均沈下量( $h_d$ )、また、沖側と岸側の沈下量の差を堤幅で除して堤の傾斜角( $\tan\beta$ )を推定した。なお、着色砂・中立粒子を用いた実験においては、それらの移動状況を目視観測や写真撮影により推定した。

3. 実験結果: 1) 着色砂移動状況: 図-2は、堤周辺の付加的条件のないノーマルな実験の下での着色砂(青, 赤, 緑)の移動状況

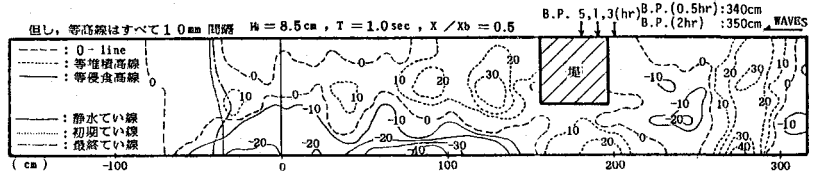


図-1 堤内地形変化の等侵食・堆積高線図による表示の一例

Hideo-Hirayama, Hiroyuki-Fukushima, Masayoshi-Kosugi, Takeshi-Urakami

を、各着色砂毎に分けて矢印(↑, ↓)を示したものである。それぞれの移動状況の概要は次のとおりである。

(a)開口部岸側の着色砂(青)：移動範囲・移動量ともに岸側への前進が卓越しており、その大半が開口部からの回折波の波向に沿って前進し、量的には少ないが、汀線付近にまで及ぶものがある。また、沖側へ後退するものはほとんど前後退は見られず、一部が堤後面に堆積している程度である。

(b)開口部沖側の着色砂(赤)：移動範囲は、岸側方向に比して沖側の方向へかなり卓越している。しかし、量的には岸側の方が若干多いようであり、(a)の開口部岸側の青の位置に土砂を供給しているようである。堤脚部へ進入するものは前述の青と比べて前後退はほとんど見られず、一部が堤後面に堆積している。

(c)離岸堤前面の着色砂(緑)：移動方向は、(b)の赤とはほぼ同様であるが、沖側へ後退する量は赤に比して多いようである。

(d)沖側の着色砂(黒)：これは、さわりの標準砂に埋めたため、移動範囲は狭か、たが、開口部側に比して堤側が岸側への前進量が卓越し、一方、沖側への後退は少ないようである。

2)中立粒子移動状況：図-3は、堤周辺の中立粒子(粒径=4.5mm, 比重 $\geq 1.0$ )の移動状況の実験結果を、step型とbar型の波の作用下に分けて示したものである。両者とも、堤を中心に岸に向って左回りに循環し、また、step型に比してbar型の波の場合が、移動速度が明らかに大きいことが明らかである。

3)堤況下量と傾斜：図-4は、純堆砂量と沈下量の関係を示したもので、沈下量の増大に伴って純堆砂量は減少の傾向を示している。このことは、前報<sup>1)</sup>の場合と同様な結果を示しており、堤内純堆砂量を増やすには、堤の沈下を防止する必要があることを示している。

図-5は、最終平衡地形における純堆砂量と堤傾斜角( $\tan\beta$ )の関係を示したものである。データ数が少ないので明確ではないが、どちらかと言えば、 $\tan\beta$ の増大とともに純堆砂量は減少の傾向を示している。

また図-6は、汀線移動量と $\tan\beta$ の関係を経時変化を含めて示したものであり、 $\tan\beta$ の増大に伴って汀線は前進の傾向を示している。しかしながら、前述の堤内堆砂効果の促進の観点からは、沈下は防止した方が良いので、沈下対策については詳細な検討が必要であるように思われる。

最後に、日頃暖かい御指導を賜り、まいる京都大学工学部岩垣雄一教授に心から謝意を表す。

参考文献 1) 平山, 西尾, 久保田: 昭和58年度関西支部年講, 1983.

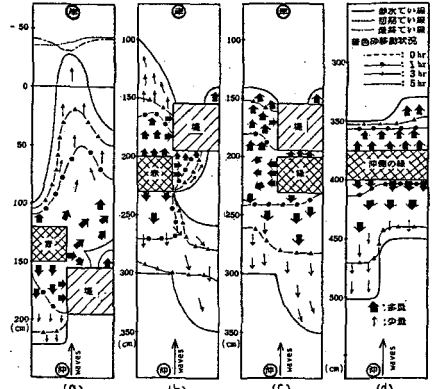


図-2 着色砂の移動状況 ( $H_0=8.5\text{m}, T=10\text{sec}, X_0=0.5$ )

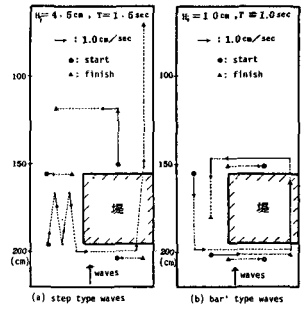


図-3 中立粒子の移動状況

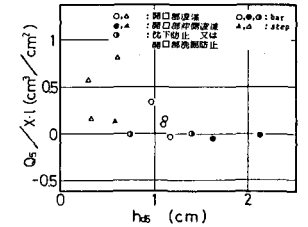


図-4 純堆砂量と沈下量の関係

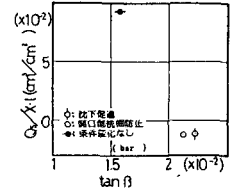


図-5 純堆砂量と $\tan\beta$ の関係

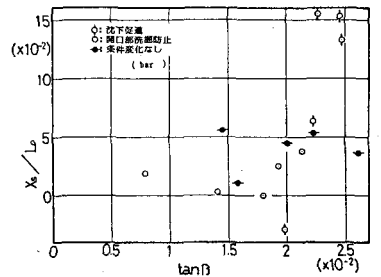


図-6 汀線移動量と $\tan\beta$ の関係